

Предложен дизайн гетероструктуры, когда соседние CdSe/ZnSe вставки разделены узким (5 нм) слоем ZnS. Предложенный дизайн гетероструктур в случае несимметричного волновода приводит к значительному увеличению фактора оптического ограничения примерно в 1.3 и 1.6 раз (для 2 и 3 CdSe вставок, соответственно) по сравнению с традиционным волноводом (СР, разделяющие CdSe/ZnSe вставки, а также верхний и нижний участки СР имеют толщины 100 нм). При этом фактор оптического ограничения для гетероструктур предложенного дизайна не очень сильно отличается от максимально возможного: проигрыш составляет 6 и 11% для структур с двумя и тремя CdSe/ZnSe вставками, соответственно.

СПИСОК ИСПОЛЬЗОВАННЫХ ИСТОЧНИКОВ

1. Albert D., Nurberger J., Hock V., et al. // Appl. Phys. Lett. – 1999. – Vol. 74. – P.1957
2. Jmerik V.N., Sorokin S.V., Shubina T.V., et al. // Cryst. Growth. 2000. – Vol. 214/215. – P. 502. 3.
3. I.V. Sedova, S.V. Sorokin, A.A. Toropov, V.A. Kaygorodov, S.V. Ivanov, P.S. Kop'ev E.V. Lutsenko, V.N. Pavlovskii, V.Z. Zubialevich, A.L. Gurskii, G.P. Yablonskii, Y. Dikme

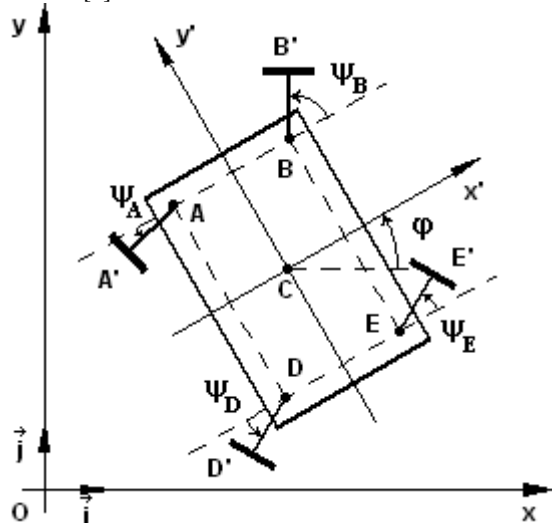
- H. Kalisch, A. Szymakowski, R.H. Jansen, B. Schineller and M. Heuken, Phys. Stat. Sol. (c), **1** (4), 1030 (2004).
4. U. Lunz, B. Jobst, S. Einfeict, C. R. Becker, D. Hommel, G. Landwehr. Optical properties of $Zn_{1-x}Mg_xS_ySe_{1-y}$ epitaxial layers for blue-green laser applications// J. Appl. Phys., 1995, v. 77, №10, p. 5377-5380.
5. H. H. Li. Refractive index of ZnS, ZnSe, and ZnTe and its Wavelength and Temperature Derivatives// J. Phys. Chem. Ref. Data, 1984, v. 13, №1, p. 103-150.
6. M. J. Bergmann and H. C. Casey, Jr. Optical-field calculations for lossy multiple-layer $Al_x Ga_{1-x} N / In_x Ga_{1-x} N$ laser diodes// J. Appl. Phys., 1998, v. 84, №3, p. 1196-1203.
7. Н.П. Тарасюк, А.А. Гладышук, Е.В. Луценко. Фактор оптического ограничения и пороговые условия генерации оптически накачиваемых полупроводниковых лазеров на квантоворазмерных структурах InGaN/GaN, выращенных на кремниевых подложках// Вестник БГТУ. Физика, математика, химия. – 2002. – №5(17). – С. 8-13.
8. М. Адамс. Введение в теорию оптических волноводов/ Москва, 1984.

УДК 531

Чопциц И.Н., Чопциц Н.И., Кандилян Г.С.

УРАВНЕНИЯ ДВИЖЕНИЯ ДВУМЕРНОЙ МОДЕЛИ РОБОТА С МАКСИМАЛЬНЫМ УПРАВЛЕНИЕМ

Пусть некоторое тело, называемое основным, связано голономными или неголономными связями с другими твердыми телами, которые могут совершать заданные управляемые движения относительно основного тела (такая система называется кусочно-твердым телом). При этом и основное твердое тело, и связанные с ним тела могут находиться в контакте с опорой. При заданных характеристиках взаимодействия тел с опорой движение основного твердого тела определяется управляемыми движениями связанных с ним тел, и если управляются все степени свободы этих тел, то управление называется максимальным. В этой общей исходной постановке могут быть поставлены различные задачи оптимизации управления [1].



В качестве одной из простейших реализаций такого типа систем рассмотрим модель плоского робота с четырьмя колесами. На рисунке показан вид сверху робота с платформой прямоугольной формы, на которой в точках **A, B, D, E** находятся перпендикулярные плоскости рисунка оси поворота осей вращения колес **AA', BB', DD', EE'**; длины указанных отрезков предполагаются одинаковыми и равными l , $AB = DE = 2a$, $AD = BE = 2b$, радиусы колес обозначим R , угловые скорости буквами Ω с соответствующими индексами, например, $\Omega_{A'}$ – угловая скорость колеса с центром в точке A' ; угловые скорости считаются положительными, если соответствующие векторы образуют с осью Cx' тупой угол; μ – коэффициент трения в модели Кулона-Амонтона. Управление движением робота осуществляется путем задания набора функций $\{\Omega_{A'}(t), \Omega_{B'}(t), \Omega_{D'}(t), \Omega_{E'}(t), \Psi_A(t), \Psi_B(t), \Psi_D(t), \Psi_E(t)\}$, из которых первые четыре могут быть выражены через мощностные и моментные характеристики двигателя и характеристики трансмиссии, а остальные являются, так сказать, рулевыми характеристиками. Из уравнений моментов относительно осей Cx', Cy' и условия равновесия в проекции на ось Oz имеем:

$$N_{A''}(l \cos \Psi_A + a) + N_{D''}(l \cos \Psi_D + a) = N_{B''}(l \cos \Psi_B + a) + N_{E''}(l \cos \Psi_E + a),$$

Чопциц Игнатий Николаевич, студент 2-го курса ф-та электронно-информационных систем Брестского государственного технического университета.

Чопциц Николай Игнатьевич, доцент каф. физики Брестского государственного технического университета.

Кандилян Генрик Сергеевич, доцент каф. физики Брестского государственного технического университета. Беларусь, БрГТУ, 224017, г. Брест, ул. Московская, 267.

$$\begin{aligned} N_{A''}(b - l \sin \Psi_A) + N_{B''}(b + l \sin \Psi_B) &= \\ = N_{D''}(b + l \sin \Psi_D) + N_{E''}(b - l \sin \Psi_E), & \\ N_{A''} + N_{B''} + N_{D''} + N_{E''} &= mg. \end{aligned} \quad (1)$$

Недостающее четвертое уравнение может быть написано исходя из традиционных представлений, используемых в статически неопределимых задачах, и вследствие громоздкости выписывать его не будем. Полученная система уравнений (1) определяет все нормальные реакции. Заметим, что при редукации управления, когда $\Psi_A = \Psi_B = \Psi$, $\Psi_D = \Psi_E = \Psi'$, все нормальные реакции одинаковы и равны $\frac{1}{4}mg$, где m – масса системы. Векторы скоростей точек соприкосновения колес с опорой A'' , B'' , D'' , E'' , координаты x и y которых совпадают с координатами точек A' , B' , D' , E' , запишутся в виде:

$$\begin{aligned} \vec{V}_{A''} &= (\dot{x}_C + (l\dot{\Psi}_A + R\Omega_{A'}) \sin(\Psi_A + \varphi)) \vec{i} + \\ &+ (\dot{y}_C - (l\dot{\Psi}_A + R\Omega_{A'}) \cos(\Psi_A + \varphi)) \vec{j}, \\ \vec{V}_{B''} &= (\dot{x}_C - (l\dot{\Psi}_B - R\Omega_{B'}) \sin(\Psi_B + \varphi)) \vec{i} + \\ &+ (\dot{y}_C + (l\dot{\Psi}_B - R\Omega_{B'}) \cos(\Psi_B + \varphi)) \vec{j}, \\ \vec{V}_{D''} &= (\dot{x}_C + (l\dot{\Psi}_D + R\Omega_{D'}) \sin(\Psi_D + \varphi)) \vec{i} + \\ &+ (\dot{y}_C - (l\dot{\Psi}_D + R\Omega_{D'}) \cos(\Psi_D + \varphi)) \vec{j}, \\ \vec{V}_{E''} &= (\dot{x}_C - (l\dot{\Psi}_E - R\Omega_{E'}) \sin(\Psi_E + \varphi)) \vec{i} + \\ &+ (\dot{y}_C + (l\dot{\Psi}_E - R\Omega_{E'}) \cos(\Psi_E + \varphi)) \vec{j}. \end{aligned} \quad (2)$$

Векторы сил трения в соответствующих точках в моменты времени, когда имеет место проскальзывание колес, запишутся в виде:

$$\begin{aligned} \vec{F}_{A''} &= -\mu N_{A''} \vec{e}_{A''}, & \vec{F}_{B''} &= -\mu N_{B''} \vec{e}_{B''}, \\ \vec{F}_{D''} &= -\mu N_{D''} \vec{e}_{D''}, & \vec{F}_{E''} &= -\mu N_{E''} \vec{e}_{E''}, \end{aligned} \quad (3)$$

где, например, единичный вектор в направлении $\vec{V}_{A''}$ определяется соотношением (4).

Остальные векторы $\vec{e}_{B''}$, $\vec{e}_{D''}$, $\vec{e}_{E''}$ определяются аналогично.

Уравнения движения центра масс системы имеют вид:

$$\begin{aligned} m\ddot{x}_C &= -\mu(N_{A''}e_{A''x} + N_{B''}e_{B''x} + N_{D''}e_{D''x} + N_{E''}e_{E''x}), \\ m\ddot{y}_C &= -\mu(N_{A''}e_{A''y} + N_{B''}e_{B''y} + N_{D''}e_{D''y} + N_{E''}e_{E''y}), \end{aligned} \quad (5)$$

куда должны быть подставлены выражения для соответствующих проекций векторов $\vec{e}_{A''}$, $\vec{e}_{B''}$, $\vec{e}_{D''}$, $\vec{e}_{E''}$, определяемых соотношениями (4), и сил нормальных реакций, определяемых из системы (1). Уравнение динамики вращательного

движения относительно оси Cz' , перпендикулярной плоскости рисунка, запишется в виде:

$$\begin{aligned} I_{Cz'} \ddot{\varphi} &= -\mu \left((\tilde{x}_{A''} N_{A''} e_{A''y} - \tilde{y}_{A''} N_{A''} e_{A''x}) + \right. \\ &+ (\tilde{x}_{B''} N_{B''} e_{B''y} - \tilde{y}_{B''} N_{B''} e_{B''x}) + \\ &+ (\tilde{x}_{D''} N_{D''} e_{D''y} - \tilde{y}_{D''} N_{D''} e_{D''x}) + \\ &\left. + (\tilde{x}_{E''} N_{E''} e_{E''y} - \tilde{y}_{E''} N_{E''} e_{E''x}) \right) \end{aligned} \quad (6)$$

где $I_{Cz'}$ – момент инерции системы и

$$\begin{aligned} \tilde{x}_{A''} &= -(a + l \cos \Psi_A) \cos \varphi - (b - l \sin \Psi_A) \sin \varphi, \\ \tilde{y}_{A''} &= -(a + l \cos \Psi_A) \sin \varphi + (b - l \sin \Psi_A) \cos \varphi, \\ \tilde{x}_{B''} &= (a + l \cos \Psi_B) \cos \varphi - (b + l \sin \Psi_B) \sin \varphi, \\ \tilde{y}_{B''} &= (a + l \cos \Psi_B) \sin \varphi + (b + l \sin \Psi_B) \cos \varphi, \\ \tilde{x}_{D''} &= -(a + l \cos \Psi_D) \cos \varphi + (b + l \sin \Psi_D) \sin \varphi, \\ \tilde{y}_{D''} &= -(a + l \cos \Psi_D) \sin \varphi - (b + l \sin \Psi_D) \cos \varphi, \\ \tilde{x}_{E''} &= (a + l \cos \Psi_E) \cos \varphi - (-b + l \sin \Psi_E) \sin \varphi, \\ \tilde{y}_{E''} &= (a + l \cos \Psi_E) \sin \varphi + (-b + l \sin \Psi_E) \cos \varphi. \end{aligned}$$

Полученная система уравнений (5)-(6) определяет динамику поведения робота, т.е. зависимости $x_C(t)$, $y_C(t)$, $\varphi(t)$ при задании соответствующих начальных условий и вида управляющих функций. Некоторое упрощение системы достигается в режимах медленного управления, когда, например, $l\dot{\Psi}_A \ll R\Omega_{A'}$ и т.д. Отметим, что в режимах, когда скорость соответствующей точки касания равна нулю, выражение для силы трения, записанное в виде равенства, заменяется неравенством. Однако в силу того, что соответствующее множество точек фазового пространства имеет меру нуль, при численном решении проверять выполнение условий равенства нулю скоростей нет необходимости. Разумеется, можно легко учесть в рассматриваемой модели и случай зависимости коэффициента трения от скорости соответствующей точки контакта колеса. Анализ поведения системы в различных режимах управления проводится с помощью системы *Mathematica*. Особый интерес представляют задачи редукации управления, т.е. обеспечение заданных траекторий характеристик меньшим набором управляющих функций, а также обычные задачи оптимального управления с оптимизацией по мощностям, моментам сил и энергетическим характеристикам.

СПИСОК ИСПОЛЬЗОВАННЫХ ИСТОЧНИКОВ

1. Л.С.Понтягин, В.Г.Болтянский, Р.В.Гамкрелидзе, Е.Ф.Мищенко. Математическая теория оптимальных процессов. 3-е изд. – М.: Наука, 1976. – 392 с.

$$\vec{e}_{A''} = \frac{\vec{V}_{A''}}{V_{A''}} = \frac{(\dot{x}_C + (l\dot{\Psi}_A + R\Omega_{A'}) \sin(\Psi_A + \varphi)) \vec{i} + (\dot{y}_C - (l\dot{\Psi}_A + R\Omega_{A'}) \cos(\Psi_A + \varphi)) \vec{j}}{\left[(\dot{x}_C + (l\dot{\Psi}_A + R\Omega_{A'}) \sin(\Psi_A + \varphi))^2 + (\dot{y}_C - (l\dot{\Psi}_A + R\Omega_{A'}) \cos(\Psi_A + \varphi))^2 \right]^{1/2}} = e_{A''x} \vec{i} + e_{A''y} \vec{j} \quad (4)$$